

ประสิทธิภาพการดักจับอนุภาคเข้ม่าคัวนของเครื่องตกรตะกอนเชิงไฟฟ้าสถิต : ส่วนที่ 2 ผลกระทบของความต่างศักย์

The Soot Particles Collection Efficiency of an Electrostatic Precipitator

Part II: The Effect of Voltage

นฤบดี ศรีสังข์¹ จรัสชัย เย็นพยับ² พีระพงศ์ ทีฆะสกุล³ และ วชร กานาสี⁴

^{1,4} สาขาวิชาวิศวกรรมเครื่องกล, ²สาขาวิชาวิศวกรรมเกษตร สถาบันเทคโนโลยีพระจอมเกล้าเจ้าคุณทหารลาดกระบัง (วิทยาเขตชุมพร) อ.ปะทิว จ.ชุมพร 86160 โทรศัพท์ 0-7750-6434 โทรสาร 0-7750-6434 Email: kkwachar@kmitl.ac.th⁴

³ภาควิชาวิศวกรรมเครื่องกล คณะวิศวกรรมศาสตร์ มหาวิทยาลัยสงขลานครินทร์ อ.หาดใหญ่ จ.สงขลา 90112
โทรศัพท์ 0-7428-7035 โทรสาร 0-7421-2893 Email: perapong.t@psu.ac.th³

N. Srisang¹, C. Yenphayab², P. Tekasakul³ and W. Kalasee⁴

^{1,4}Department of Mechanical Engineering, ²Department of Agricultural Engineering, King Mongkut's Institute of Technology Ladkrabang, Chumphon Campus, Pathiu, Chumphon 86160 Tel: 0-7750-6434 Fax: 0-7750-6434
Email: kkwachar@kmitl.ac.th⁴

³Department of Mechanical Engineering, Faculty of Engineering, Prince of Songkla University, Hat Yai, Songkla 90112
Tel: 0-7428-7035 Fax: 0-7421-2893 Email: perapong.t@psu.ac.th³

บทคัดย่อ :

บทความนี้ได้นำเสนอผลกระทบของความต่างศักย์ที่มีต่อประสิทธิภาพการดักจับอนุภาคเข้ม่าคัวนของเครื่องตกรตะกอนเชิงไฟฟ้าสถิตชนิดชั้นเดียวที่มีห้องสแตนเลสทำหน้าที่เป็นขั้วเก็บอนุภาคและมีลวดทองแดงที่อยู่กลางห้องทำหน้าที่เป็นขั้วโคลนนาถ่ายประจุให้กับอนุภาค ผลการศึกษาพบว่า ประสิทธิภาพการดักจับอนุภาคเข้ม่าคัวนของเครื่องตกรตะกอนเชิงไฟฟ้าสถิตที่ออกแบบไว้จะมีค่าสูงขึ้น เมื่อความต่างศักย์ที่ใช้ทดสอบมีค่าเพิ่มขึ้น

คำหลัก เครื่องตกรตะกอนเชิงไฟฟ้าสถิต, อนุภาคเข้ม่าคัวน, ความต่างศักย์

Abstract:

This paper presents the effect of an Electrostatic Precipitator (ESP) voltage on soot particles collection efficiency. The single stage wire-cylinder ESP with used stainless steel for a collection electrode and used wire copper for a discharge electrode. It was found,

the efficiency of the ESP design for collection the soot particle was high when the ESP voltage was increased.

Keyword: Electrostatic precipitator, soot particle, voltage

1. บทนำ

ในปัจจุบันเครื่องตกรตะกอนเชิงไฟฟ้าสถิตเป็นเครื่องมือที่ถูกนำมาใช้กำจัดอนุภาคอย่างแพร่หลาย ทั้งจากผู้ผลิตและผู้ซื้อที่สมมติกับคุณภาพ เช่น ไฟฟ้า, แม่คัวนจากการเผาไหม้ไม้พืช [1] แม่คัวนของบุหรี่ [2] แม่คัวนจากห้องน้ำ (Boiler) และอนุภาคจากการกระบวนการผลิตในโรงงานอุตสาหกรรม เช่น ฝุ่นและฝุ่นแป้ง เป็นต้น

เครื่องตกรตะกอนเชิงไฟฟ้าสถิตสามารถแบ่งตามวิธีการใส่ประจุได้เป็นสองแบบใหญ่ คือแบบชั้นเดียว (one-stage type) และแบบสองชั้น (two-stage type) โดยเครื่องตกรตะกอนเชิงไฟฟ้าสถิตแบบชั้นเดียวที่นิยมการใส่ประจุให้อนุภาคฝุ่นและการเก็บอนุภาคฝุ่นที่ได้รับประจุจะกระทำในส่วนไฟฟ้าชั้นเดียว กัน เครื่องตกรตะกอนเชิงไฟฟ้าสถิตแบบนี้มีใช้กันอย่าง

กว้างของในอุตสาหกรรมต่างๆ และข้าวโคลโน (ข้าวเส้นลวด) มักจะเป็นข้าวลบเนื่องจากการใส่ประจุให้กับอนุภาคในภาคปฏิบัติจะได้ผลดีกว่ากรณีที่ข้าวโคลโนเป็นข้าวบวก ส่วนเครื่องตัดตะกอนเชิงไฟฟ้าสถิตแบบสองชั้น การใส่ประจุให้ออนุภาคฝุ่นและการเก็บอนุภาคฝุ่นที่ได้รับประจุจะกระทำในสนามไฟฟ้าที่แยกต่างหางัน โดยทั่วไปเครื่องตัดตะกอนเชิงไฟฟ้าสถิตแบบนี้จะใช้เป็นเครื่องทำความสะอาดอากาศ (air cleaner) เพื่อทำความสะอาดอากาศที่มีอนุภาคละเอียดผสมอยู่ในความเข้มข้นต่ำ และมักใช้ข้าวบวกเป็นข้าวโคลโนเพื่อป้องกันการเกิดแก๊สอันตราย เช่น โอโซน เป็นต้น

เครื่องตัดตะกอนเชิงไฟฟ้าสถิตสามารถแบ่งตามกระบวนการใส่ประจุได้เป็น 2 ชนิด คือเครื่องตัดตะกอนเชิงไฟฟ้าสถิตที่มีข้าวโคลโนเป็นข้าวบวก (Positive corona) และชนิดข้าวโคลโนเป็นข้าวลบ (Negative corona)

ความต่างศักย์จะมีผลโดยตรงต่อประสิทธิภาพการดักจับอนุภาคเข้มข้น การใช้พลังงานไฟฟ้า และระยะเวลาการใช้งานของเครื่องตัดตะกอนเชิงไฟฟ้าสถิต ซึ่งการเพิ่มขึ้นของความต่างศักย์นั้น จะทำให้สามารถแบ่งชั้นของเครื่องตัดตะกอนเชิงไฟฟ้าสถิตชนิดชั้นเดียวที่มีข้าวโคลโนเป็นข้าวลบ (Type of negative corona) ได้เพิ่มขึ้นอีก 3 ชนิด คือ Trichel pulse corona, Pulseless corona และ Spark [4]

ดังนั้นในงานวิจัยนี้จึงได้ทำการศึกษาหาความสัมพันธ์ระหว่างความต่างศักย์ที่มีต่อประสิทธิภาพการดักจับอนุภาคเข้มข้นของเครื่องตัดตะกอนเชิงไฟฟ้าสถิตชนิดชั้นเดียวที่มีหอสแตนเลสทำหน้าที่เป็นข้าวเก็บอนุภาคและมีลวดทองแดงท่ออยู่กลางหอทำหน้าที่เป็นข้าวโคลโนถ่ายประจุให้กับอนุภาค

2. ทฤษฎี

2.1 สนามไฟฟ้า (Electric field) มีบทบาทสำคัญในกระบวนการตัดตะกอนเพรำสนามไฟฟ้ามีผลทั้งต่อการใส่ประจุให้กับอนุภาคและต่อแรงที่กระทำต่อนุภาคที่ได้รับประจุแล้ว ซึ่งผลคูณระหว่างความแรงของสนามไฟฟ้าในย่านที่เกิดการใส่ประจุกับความแรงของสนามไฟฟ้าใกล้ข้าวเก็บจะเป็นตัวที่กำหนดประสิทธิภาพในการเก็บอนุภาค ในกรณีของระบบข้าวแบบเส้นลวดและผังทรงกระบอกที่มีแนวกลางร่วมกัน ความแรงของสนามไฟฟ้าที่ระยะรัศมีใดๆ $E(r)$ สามารถคำนวณได้จาก [5]

$$E(r) = \frac{V}{r \ln(b/a)} \quad (1)$$

เมื่อ a คือ รัศมีของเส้นลวดโคลโน (m)

b คือ ระยะห่างระหว่างข้าวโคลโนและข้าวเก็บ (m)

r คือ ระยะรัศมี (m)

V คือ แรงดันไฟฟ้าที่ใส่ (V)

$E(r)$ คือ ความแรงของสนามไฟฟ้า (V/m)

2.2 การใส่ประจุให้กับอนุภาค เป็นเงื่อนไขพื้นฐานข้อหนึ่งของกระบวนการตัดตะกอนเชิงไฟฟ้าสถิต โดยปกติถือว่าการใส่ประจุเกิดขึ้นในย่านระหว่างขอบของแสงเรืองโคลโนกับข้าวเก็บ ซึ่งภายในย่านนี้อนุภาคจะถูกชักด้วยไอออนจำนวนมหาศาลที่เกิดจากประกายการณ์โคลโน [5,6] ซึ่งการใส่ประจุให้กับอนุภาคเกิดขึ้น 3 วิธีคือ

1. การใส่ประจุโดยสนามไฟฟ้า (Field charging) เกิดจากอนุภาคที่รับประจุเมื่อขนาดเส้นผ่านศูนย์กลางโตกว่า 0.5 ไมโครเมตร ทำให้เกิดการแปรโฉมเฉพาะถี่น (local deformation) ของสนามไฟฟ้าในลักษณะที่สนามไฟฟ้าวิ่งตัดกับอนุภาค เนื่องจากไอออนซึ่งเคลื่อนที่ตามเส้นสนามไฟฟ้าจะกระแทกกับอนุภาคและถูกจับยึดด้วยแรงของประจุวินิจฉាព (image charge force) เมื่อจำนวนไอออนที่กระแทกกับอนุภาคได้เพิ่มขึ้นเรื่อยๆ จนกว่าจะเกิดการบิดเบี้ยวของเส้นสนามไฟฟ้าเดิม ทำให้เส้นสนามไฟฟ้าเหล่านี้ไม่วิ่งตัดกับอนุภาคอีกต่อไป สภาวะนี้เกิดขึ้นเมื่อทำให้ไอออนจะไม่กระทบกับอนุภาคอีกและจะไม่เกิดการเพิ่มของประจุบนอนุภาคอีก ซึ่งวิธีการใส่ประจุแบบนี้ มีชื่อเรียกอีกอย่างหนึ่งว่า การใส่ประจุที่ขึ้นกับสนามไฟฟ้า (field dependent charging)

2. การใส่ประจุโดยการแพร (Diffusion charging) เป็นกลไกที่ใส่ประจุให้กับอนุภาคโดยการสัมผัสและการเกาะติดของไอออน ซึ่งเกิดจากการเคลื่อนที่อย่างไม่มีกฎเกณฑ์เชิงความร้อน (thermal random motion) โดยมักเกิดขึ้นกับอนุภาคที่มีขนาดเส้นผ่านศูนย์กลางเล็กกว่า 0.2 ไมโครเมตร ซึ่งการใส่ประจุโดยการแพรนี้จะขึ้นกับความแรงของสนามไฟฟ้าด้วย เพราะการเคลื่อนไหวของไอออนย่อมขึ้นกับทั้งแรงเชิงไฟฟ้าสถิตและแรงของการแพร

3. การใส่ประจุโดยทั้งสนามไฟฟ้าและการแพร มักเกิดขึ้นกับอนุภาคที่มีขนาดเส้นผ่านศูนย์กลางระหว่าง 0.2 ไมโครเมตร ถึง 0.5 ไมโครเมตร

3. การทดสอบ

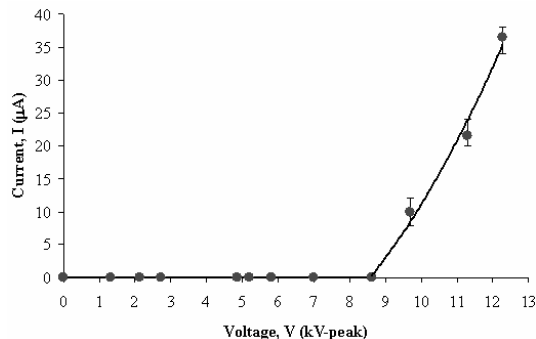
ผลการศึกษาความสัมพันธ์ระหว่างต่ำกระแทกและไฟฟ้าโคลโนกับค่าความต่างศักย์ที่มีคุณสมบัติภูมิในรูปที่ 1 ทำให้ทราบค่าความต่างศักย์ Onset และความสัมพันธ์ของความต่างศักย์และกระแสไฟฟ้าของเครื่องตัดตะกอนเชิงไฟฟ้าสถิตที่ออกแบบไว้ดังนั้นในการศึกษาผลกระทบของความต่างศักย์ที่มีต่อ

ประสิทธิภาพการดักจับอนุภาคเข้ม่าควันของเครื่องตัดตะกอน เชิงไฟฟ้าสถิตชนิดชั้นเดียวที่ออกแบบไว้ได้ทำการศึกษาที่ค่าความต่างศักย์ทุ่นดิจิทัล 2.1 kV, 4.9 kV และ 5.8 kV ในกรณี Trichel pulse corona และที่ 8.6 kV (จุด Onset), 9.7 kV และ 12.3 kV ในกรณี Pulseless corona ซึ่งสามารถทำได้โดย

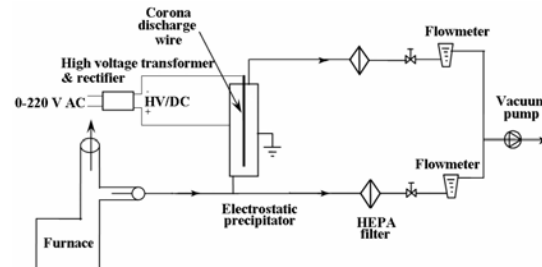
1. ทำการติดตั้งเครื่องมือและเครื่องมือตั้งรูปที่ 2
2. ตรวจสอบการติดตั้งเครื่องมือและอุปกรณ์หลังจากนั้นทำการเปิดปั๊มสูญญากาศ โดยตั้งอัตราการไหลที่ 20 ลิตรต่อนาที
3. เดินเครื่องตัดตะกอนเชิงไฟฟ้าสถิตที่ค่าความต่างศักย์ต่างๆข้างต้น
4. เมื่อครบ 30 นาที ทำการปิดปั๊มสูญญากาศและนำกระดาษกรองออกจาก Filter holder และเก็บกระดาษกรองในกล่องปีดสนิทที่มีวัสดุดูดความชื้น (silica gel) เพื่อดูดความชื้นออกจากกระดาษกรองทั้ง 2 ชุด ซึ่งชุดแรก คือชุดสำหรับหาปริมาณของอนุภาคเข้ม่าควันทั้งหมด ส่วนชุดหลัง คือชุดสำหรับหาปริมาณของอนุภาคเข้ม่าควันหลังจากการดักจับด้วยเครื่องตัดตะกอนเชิงไฟฟ้าสถิต
5. ทำการทดลองต่อไปจนครบ 10 ชั่วโมง
4. นำผลที่ได้มายาประสิทธิภาพการดักจับอนุภาคของเครื่องตัดตะกอนเชิงไฟฟ้าสถิตจากการสมการ

$$\text{Efficiency} = \left(\frac{m_1 - m_2}{m_1} \right) \quad (2)$$

เมื่อ m_1 คือ น้ำหนักของอนุภาคเข้ม่าควันจากกระดาษกรองชุดที่ไม่ผ่านเครื่องตัดตะกอนเชิงไฟฟ้าสถิต m_2 คือ น้ำหนักของอนุภาคเข้ม่าควันจากกระดาษกรองชุดที่ผ่านเครื่องตัดตะกอนเชิงไฟฟ้าสถิต



รูปที่ 1 ความสัมพันธ์ระหว่างค่ากระแสไฟฟ้าโคลโรมากับค่าความต่างศักย์ทุ่นดิจิทัล



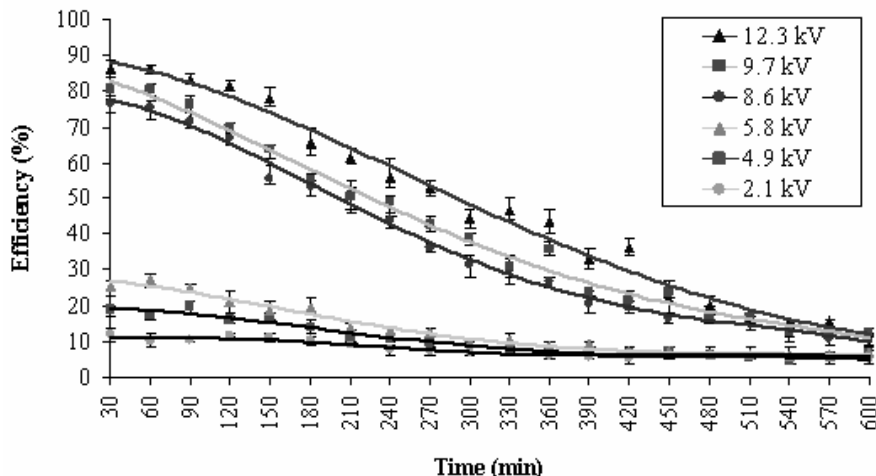
รูปที่ 2 ชุดการทดสอบประสิทธิภาพการดักจับอนุภาคเข้ม่าควันของเครื่องตัดตะกอนเชิงไฟฟ้าสถิต

4. ผลทดสอบและการวิเคราะห์ผล

เนื่องจากความแตกต่างของค่าความต่างศักย์ในการใช้งานของเครื่องตัดตะกอนเชิงไฟฟ้าสถิตจะมีผลโดยตรงต่อประสิทธิภาพการดักจับอนุภาคเข้ม่าควัน ซึ่งจากการศึกษาข้างต้นพบว่าเครื่องตัดตะกอนเชิงไฟฟ้าสถิตชนิดชั้นเดียวที่มีชื่อโคลโรมานเป็นชั้น (Type of negative corona) สามารถแบ่งชนิดได้เป็น Trichel pulse corona, Pulseless corona และ Spark แต่ในช่วง Spark การทดสอบค่อนข้างยุ่งยากและอาจเป็นอันตรายได้บีบกับกับมือแปลงไฟฟ้าที่ใช้ไม่สามารถแปลงความต่างศักย์ให้สูงถึงช่วง Spark ของเครื่องตัดตะกอนเชิงไฟฟ้าสถิตได้ ดังนั้นในงานวิจัยนี้จึงได้สนใจทดสอบผลกระทบของความต่างศักย์ที่มีต่อประสิทธิภาพการดักจับอนุภาคเข้ม่าควันของเครื่องตัดตะกอนเชิงไฟฟ้าสถิตชนิดชั้นเดียวในช่วงของ Trichel pulse corona และ Pulseless corona เท่านั้น

4.1 Trichel pulse corona

Trichel pulse corona เป็นช่วงของการดักจับอนุภาค (Aerosol) ของเครื่องตัดตะกอนเชิงไฟฟ้าสถิตที่เริ่มต้นเมื่อเกิดค่าสนามไฟฟ้าสถิต (เกิดความต่างศักย์) รอบๆตัวของเครื่องตัดตะกอนเชิงไฟฟ้าสถิตเพียงเล็กน้อย จนกระทั่งถึงค่าความต่างศักย์สูงรึมีการใช้งาน (High voltage onset) จากการศึกษาพบว่าประสิทธิภาพการดักจับอนุภาคของเครื่องตัดตะกอนเชิงไฟฟ้าสถิตจะมีแนวโน้มลดลงตามระยะเวลาการใช้งานที่เพิ่มขึ้นและประสิทธิภาพการดักจับอนุภาคของเครื่องตัดตะกอนเชิงไฟฟ้าสถิตจะขึ้นอยู่กับค่าความต่างศักย์ด้วย โดยที่ค่าความต่างศักย์สูงกว่าจะมีประสิทธิภาพการดักจับอนุภาคมากกว่าที่ค่าความต่างศักย์ต่ำกว่าดังรูปที่ 3 โดยประสิทธิภาพเริ่มต้นของการดักจับอนุภาคเข้ม่าควันของเครื่องตัดตะกอนเชิงไฟฟ้าสถิตในช่วง 30 นาทีแรก มีค่าประมาณ 25%, ประมาณ 20% และประมาณ 10% ที่ค่าความต่างศักย์ 5.8 kV, 4.9 kV และ 2.1 kV ตามลำดับ จากนั้นเมื่อระยะเวลาการใช้งานของ



รูปที่ 3 ประสิทธิภาพการดักจับอนุภาคเข้มค่าวันของเครื่องตัดตะกอนเชิงไฟฟ้าสถิต

เครื่องตัดตะกอนเชิงไฟฟ้าสถิตเพิ่มขึ้น ประสิทธิภาพการ ดักจับอนุภาคจะลดลง เนื่องจากพื้นผิวของข้าวเก็บอนุภาคถูกอนุภาคเข้มค่าวันเกาะติดอยู่ ทำให้พื้นผิวของข้าวเก็บอนุภาคไม่สะอาดเท่านั้น โดยในกรณีที่ความต่างศักย์ 5.8 kV นั้นจะมีการลดลงของประสิทธิภาพการดักจับอนุภาคเข้มค่าวันมากกว่ากรณีที่ความต่างศักย์ 4.9 kV และ 2.1 kV ตามลำดับ เนื่องจากประสิทธิภาพการดักจับอนุภาคเข้มค่าวันของเครื่องตัดตะกอนเชิงไฟฟ้าสถิตในช่วงแรกมีค่าสูงมากกว่า จึงเป็นสาเหตุให้มีอนุภาคเข้มค่าวันเกาะติดอยู่บนพื้นผิวข้าวหากได้มากกว่าทำให้ค่าของสนานไฟฟ้ามีค่าลดลงตามไปด้วย จนในที่สุดก็จะไม่เกิดการดักจับอนุภาคโดยใช้สنانไฟฟ้า แต่จะเป็นการดักจับแบบการชน (Impaction) แทน โดยสังเกตได้จากประสิทธิภาพการดักจับสุดท้าย (10 ชั่วโมง) จะมีค่าใกล้เคียงกันของความต่างศักย์ทั้ง 3 ค่า คือประมาณ 5%

4.2 Pulseless corona

Pulseless corona เป็นช่วงของการดักจับอนุภาค (Aerosol) ของเครื่องตัดตะกอนเชิงไฟฟ้าสถิตที่เริ่มต้นจากค่าความต่างศักย์สูงเริ่มต้นการใช้งาน (High voltage onset) จนกระทั่งถึงจุดที่เครื่องตัดตะกอนเชิงไฟฟ้าสถิตเกิดการ Spark จากการศึกษาพบว่าประสิทธิภาพการดักจับอนุภาคของเครื่องตัดตะกอนเชิงไฟฟ้าสถิตจะขึ้นอยู่กับค่าความต่างศักย์ โดยที่ค่าความต่างศักย์สูงกว่าจะมีประสิทธิภาพการดักจับอนุภาคมากกว่าที่ค่าความต่างศักย์ต่ำกว่าและมีแนวโน้มลดลงตามระยะเวลาการใช้งานที่เพิ่มขึ้น เช่นเดียวกันกับในกรณี Trichel pulse corona ดังรูปที่ 3 โดยประสิทธิภาพเริ่มต้นของการดักจับอนุภาคเข้มค่าวันของเครื่องตัดตะกอนเชิงไฟฟ้าสถิตในช่วง 30 นาทีแรก มีค่าประมาณ 90%, ประมาณ 80% และประมาณ

75% ที่ค่าความต่างศักย์ 12.3 kV, 9.7 kV และ 8.6 kV ตามลำดับ โดยค่าความต่างศักย์ทั้งหมดในช่วงนี้จะทำให้เครื่องตัดตะกอนเชิงไฟฟ้าสถิตมีประสิทธิภาพมากที่สุด

จากเหตุผลข้างต้นสามารถสรุปได้ว่าประสิทธิภาพการดักจับอนุภาคของเครื่องตัดตะกอนเชิงไฟฟ้าสถิตจะเพิ่มขึ้นสูงมาก เมื่อค่าความต่างศักย์ที่ใช้งานผ่านค่า Onset ดังนั้นจึงอาจจะสามารถประมาณการได้ว่า เมื่อค่าความต่างศักย์ผ่านจุดสูงสุดในช่วง Pulseless corona เข้าสู่ช่วง Spark และประสิทธิภาพการดักจับอนุภาคของเครื่องตัดตะกอนเชิงไฟฟ้าสถิตน่าจะมีค่าลดลง

5. บทสรุป

ประสิทธิภาพการดักจับอนุภาคเข้มค่าวันของเครื่องตัดตะกอนเชิงไฟฟ้าสถิตชนิดนี้เรียกว่าก่อแบบไวร์ จะมีค่าเพิ่มขึ้น เมื่อค่าความต่างศักย์ที่ใช้งานอยู่ในช่วง Trichel pulse corona และ Pulseless corona โดยที่ค่าความต่างศักย์สูงสุดในช่วงของ Pulseless corona นั้นจะทำให้ประสิทธิภาพการดักจับอนุภาคของเครื่องตัดตะกอนเชิงไฟฟ้าสถิตมีค่ามากที่สุด ก่อนที่ประสิทธิภาพของเครื่องตัดตะกอนเชิงไฟฟ้าสถิตจะรีค่าลดลงไปเมื่อค่าความต่างศักย์เข้าสู่ช่วง Spark

6. เอกสารอ้างอิง

- Kalasee, W; Tekasakul, S; Otani, Y; and Tekasakul, P. 2003. "Characteristics of Soot Particles Produced from Rubberwood Combustion", The 2nd Asian Particle Technology Symposium (APT 2003), Volume II, December 17-19, 2003., Penang, Malaysia.

-
2. Otani, Y.; Namiki, N.; Yen, C.-M. and Emi, H. 1993.
"Simultaneous removal of particulate and gaseous cigarette smoke components by corona discharge" Japan: Journal of aerosol research.
3. Kubo, T; Kawada, Y; Takahashi, T; Ehara, Y; Ito, T; Zukeran, A. and Takamatsu, T. 2000. "The relation between shape of particles and collection efficiency by electrostatic precipitators", Journal of aerosol science, Volume 31, Supplement 1, pp. 452-453
4. Chang, Jen-Shih; Lawless, Phil A. and Yamamoto, T. 1991. "Corona discharge processes", IEEE Transactions on plasma science, Volume 19, Issue 6, pp. 1152-1166.
5. Hinds, W.C. 1999. "Aerosol technology", New York: John Wiley & Sons, 2nd ed.
6. ชีค่าโอะ คานาโอะ กะ และ วิวัฒน์ ดัณฑะพานิชกุล. 2528.
"มลภาวะทางอากาศ", กรุงเทพฯ: สมาคมส่งเสริมเทคโนโลยี (ไทย-ญี่ปุ่น)
7. วงศ์พันธ์ ลิมป์เสนีย์, นิตยา มหาผล และ ชีระ เกรอต. 2529.
"มลภาวะทางอากาศ", กรุงเทพฯ: จุฬาลงกรณ์มหาวิทยาลัย.